

東大 正 藤野 陽三
気象研 横田 崇
神戸製鋼 正 浜崎 義弘
茨城大 正 井上 凉介

1. まえがき

昨年、強震波形における顕著な相を同定することにより、本地震が多重重源であることを示した。¹⁾ 本報告は次の点で前報¹⁾と異なる: 1) Xキシコ側の強震記録を解析に加えたこと(図1), 2)最新の地下構造モデルを用いていること, 3)視覚的方法だけではなく、定量的方法で強震波形における顕著な相の同定を行っていること。ただし、本報告では水平動のみを解析に用いている。なお、99重震源解析法の骨子は前報で述べたので省略する。

2. 99重震源解析のための準備

今回は、Fuis²⁾が求めた地下構造モデル(図2)を使って走時曲線を計算した。断層と直交するアレー観測点での作動時刻のゆかっていける強震記録(水平)の初動S波の時間ずれと走時曲線との検討から、震源深さは7kmとするのが適当であることが判明した。作動時刻のゆかっていける記録については、初動S波が震源から来たものとして走時曲線を用いて作動時刻を決定した。作動時刻のゆかっていける記録についても同様の考え方でチェックし、No. 7の記録以外は妥当であることを確かめた(表1)。

3. 99重震源解析—視覚的手法による

手法については前報¹⁾と全く同じである。断層破壊伝播速度 $V_R = 2.5 \text{ km/s}$ として求めた結果を図3に示す。図中の番号は強震計の番号(図1)である。前報¹⁾の結果には、顕著な相に対応する震源を求める際の若干の計算ミスが含まれているので、ここに訂正させていただく。図3では、震央付近、震央より12km, 23km付近に多くの点が集中しており、この地震が3つのevents A, B, Cより成ると考えてよさそうである。event Aは初動S波に対応するから点の数が多いのは自然である。強震波形の途中での顕著な相はほとんどはない、きりしていないと同定されない。このことを考えると、event Bが最もエネルギー的であるだと推察される。

個々のevent A, B, Cのローカルマグニチュード M_L を金森³⁾, Luco⁴⁾の方法で求めた所、

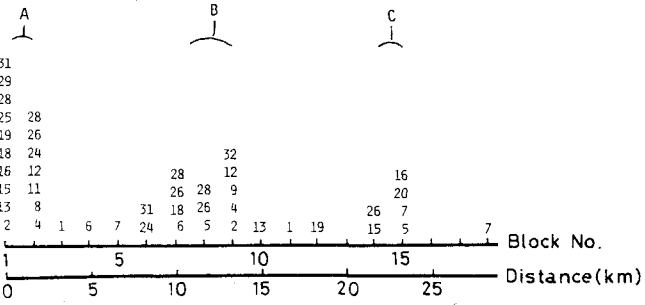


図3 視覚的手法による99重震源解析の結果

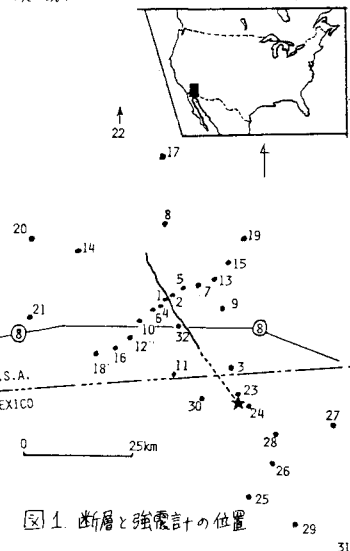


図1 断層と強震計の位置

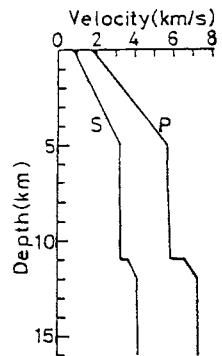


図2 地下構造モデル²⁾

表1 各観測地点における作動時刻と発震時刻の差 (T-O±1km)

Station	T-O(sec)	Station	T-O(sec)	Station	T-O(sec)
1	6.5	10	6.2	19*	7.74
2*	6.9	11*	4.37	21	14.8
3*	2.61	12*	5.98	24	4.2
4*	6.12	13	7.0	25	5.3
5*	6.89	14	10.0	26	4.5
6	6.0	15*	6.68	27	9.8
7#	6.8	16*	6.98	28	3.8
8*	9.04	17	14.0	29	6.5
9	5.0	18*	7.95	31	10.1

注 *: 作動時刻のゆかっていける記録

#: 作動時刻はゆかっていけるが修正した記録

各々、5.8, 6.3, 6.1でevent Bが最も大きく、本地震全体の $M_L = 6.3$ ⁴⁾ (gal^2) に匹敵することがわかった。

4. 多重震源解析一定量的手法による

定量的な手法による顕著な相の同定法を試みた。ここでは、加速度波形の振幅に注目し、図4に示すように水平2方向合成ニ乗波形 $g(t)$ の包絡線 $G(t)$ のピーカー(A)に対応する波の到着時刻Bを以て顕著な相の到着時刻とする。なお、各加速度波形を0-2, 2-4, 4-6 Hzの3つのフィルターに分け、各々について独立に相の同定を行ない、個々の相に振幅に応じてランク(重み)1~5を与える。

一例を図5に示す。同定された相に対応する震源の位置を計算し、その相のランクをたし合せた結果を図6に示す。なお、 $V_R = 2.3 \text{ km/s}$ とし、ランク3, 4, 5のみの相を対象としている。 $V_R = 2 \sim 3 \text{ km/s}$ の範囲で変えてみたが、2.3~2.5 km/sとした時が、events A, B, Cの

まとまりが良かった。図7に示すのは0-2 Hz フィルター - 加速度波の例である。対応する顕著なS, P相の時間差から震源を求ると、震央から12 km前後の所にあり、 V_R は2.3 km/s程度で、上記の値が妥当なものであることが別の角度からも確かめられる(表2)。

図8は、図6のスコアを各帯域別に分けて描いたものである。高周波4-6 Hzのスコア分布は一様分布に近く、0-2 Hzのスコアは比較的ピーカーがはっきりとしている。断層面上での地震波の生成が周波数帯域により異なることがわかる。

図9は、Hartzellらが変位記録を用いて求めた断層でのくい違い量の分布である。ここで求められたevents A, B, Cはくい違い量のピーカーの位置とは一致していない。くい違い量が少ない所が「バリヤー」に相当しているとすれば、ここで対象とした周期1~2秒以下の帯域が近づくときに多く発生するという解釈も考えられる。

5. おわりに

この地震が周期1~2秒以下の帯域からみて3つのeventsにわけられることがわかった。しかし、定量的手法による3相の同定法の改良、解の精度等についてさらに検討を重ねて行く必要がある。

参考文献 1) 津山寺他、土木学会毎次講演会、I-331, 1982 OR 第6回地震工学シンポジウム、1982
2) Fuis et al., USGS, paper 1254, 1982, 3) Kanamori, et al. BSSA, 1978, 4) Lucco, BSSA, 1982, 5) Hartzell, et al. BSSA, 1982.

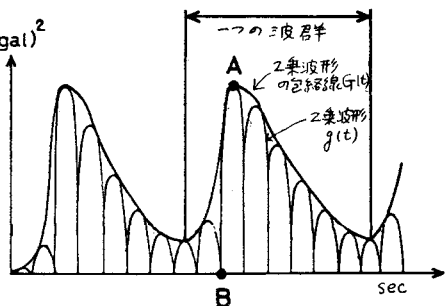


図4. 2乗合成波形における顕著な相の同定

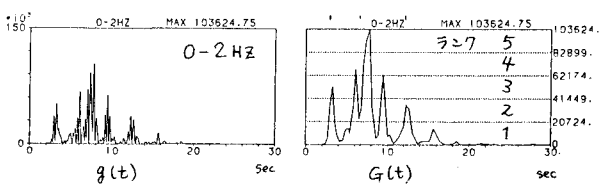


図5 2乗合成波形 $g(t)$ とその包絡波 $G(t)$ の例

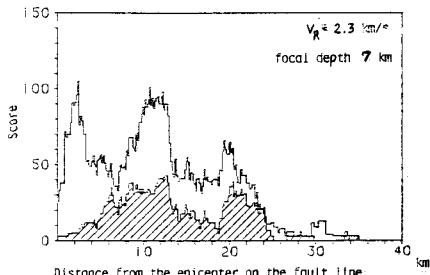


図6 断層上で得たスコアの分布(ランク3, 4, 5)

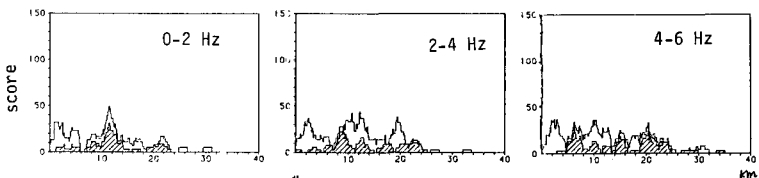


図8 帯域別のスコアの分布

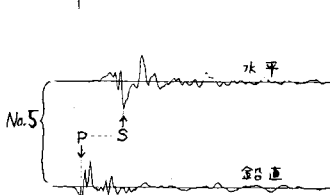
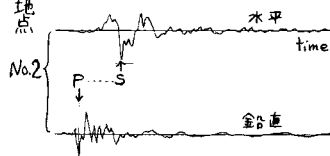


図7 0-2 Hz フィルター - 加速度波形における顕著な相の例

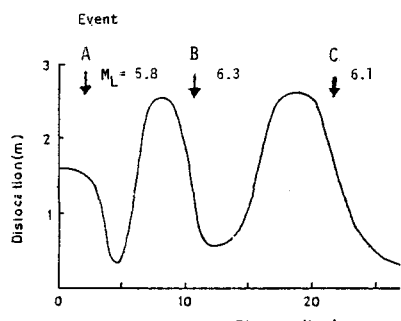


図9. Hartzellらが求めたくい違い量との比較

表1 顕著な相より求めた震源位置と V_R

Station	S-P(sec)	Position of Event (km)	$V_R(\text{km/sec})$
2	3.49	11.8	2.21
5	3.39	12.9	2.29
19	5.08	11.6	2.35